

تشخیص تغییر در داده‌های برچسب رادیوشناسه با استفاده از نشانه‌گذاری

مبتنی بر توابع درهم‌ساز توسط شبکه عصبی مصنوعی

ابراهیم شفیع^۱، سید محمدرضا موسوی میرکلانی^۲ و ابوالفضل فلاحتی^۳

^۱دانشجوی دکتری دانشکده مهندسی برق، دانشگاه علم و صنعت ایران

^۲استاد دانشکده مهندسی برق، دانشگاه علم و صنعت ایران، M_Mosavi@iust.ac.ir

^۳دانشیار دانشکده مهندسی برق، دانشگاه علم و صنعت ایران

چکیده

امروزه با مطرح شدن حملات دست‌کاری، حفاظت از داده‌ی برچسب رادیوشناسه (RFID) اهمیت یافته است. رویکرد نشانه‌گذاری مانع از تغییر غیرمجاز محتوای چنین برچسب‌هایی می‌گردد. به دلیل محدودیت‌های برچسب‌ها از قبیل ساختار ساده، تعداد ۹۶ بیت حافظه و دودویی بودن محتوای آن، به کارگیری روش‌های متعارف درهم‌سازی و نشانه‌گذاری را غیرممکن می‌کند. بدین ترتیب از رویکردهایی که قابلیت اعمال بر رشته بیت دودویی را دارند، استفاده می‌شود. این مقاله مبتنی بر الگوریتم ویژه‌ای از شبکه عصبی است که به منظور ایجاد چکیده پیام و کد نشانه استفاده شده است که باعث می‌گردد تعداد ۸ بیت از حافظه ارزشمند برچسب، جهت نشانه‌گذاری مورد استفاده قرار گیرد. در الگوریتم پیشنهادی تمام بیت‌های برچسب تحت نشانه‌گذاری قرار می‌گیرند و مکان بیت‌های نشانه قابل شناسایی نیست. این روش علاوه بر عدم نیاز به محرمانه بودن الگوریتم نشانه‌گذاری، مزایای دیگری از قبیل سهولت پیاده‌سازی و سرعت اجرا را داراست. مزیت دیگر رویکرد پیشنهادی، شبکه عصبی است که یک تابع یک‌طرفه محسوب می‌شود. این شبکه علاوه بر جایگشت، جانشینی و ابهام ایجاد می‌کند و می‌تواند همبستگی چکیده پیام را با کد کمینه نماید. فرآیند دو مرحله‌ای الگوریتم با استفاده از کلید محرمانه و مکان بیت‌های نشانه شبه تصادفی، مانع تحلیل الگوریتم می‌شود.

واژه‌های کلیدی

رادیوشناسه، امنیت RFID، نشانه‌گذاری، شبکه عصبی.

مقدمه

پیاده‌سازی الگوریتم پیشنهادی مشاهده می‌گردد. عواقب تغییر در داده‌ی برچسب بدیهی است؛ اما برای توجه به اهمیت مطلب، به ذکر سه مثال اکتفا شده است. با تغییر در داده‌ی برچسب اولاً می‌توان کتاب را از مبادی کتابخانه بدون شناسایی و مکانیزم امانت عبور داد. ثانیاً، دست‌کاری رادیوشناسه کالا می‌تواند منجر به تغییر بهاء و نوع کالا گردد و در نهایت دست‌کاری رادیوشناسه، باعث تغییر در هویت افراد می‌گردد تا به آن‌ها اجازه‌ی ورود به یک حیطة داده شود؛ بنابراین تشخیص انواع تغییر در داده‌های برچسب RFID دارای اهمیت زیادی است [۳ و ۴].

این تحقیق بر روی برچسب‌های رادیوشناسه‌ی که شامل یک کد ۱۲۸ بیت قابل خواندن و نوشتن به تعداد نامحدود است، قابل

یکی از روش‌های شناسایی خودکار اشیاء، انسان و یا حیوانات، شناسایی از طریق امواج رادیویی^۱ است که عملکرد آن شبیه بارکد می‌باشد. برچسب‌های هوشمند بیانگر سیستم‌هایی است که از امواج رادیویی به منظور انتقال اطلاعات مربوط به هویت یک شیء استفاده می‌کنند. پرکاربردترین برچسب RFID، برچسب EPC^۲ می‌باشد. برچسب‌های کد الکترونیک تولید (EPC) شامل ریزتراشه‌های^۳ الکترونیکی و آنتن‌های کوچکی هستند که انتقال اطلاعات ریزتراشه توسط آنتن مذکور انجام می‌شود [۱ و ۲]. در شکل ۱ ساختار برچسب RFID و یک سیستم نوعی رادیوشناسه به منظور

^۲Micro Chip

^۱RFID

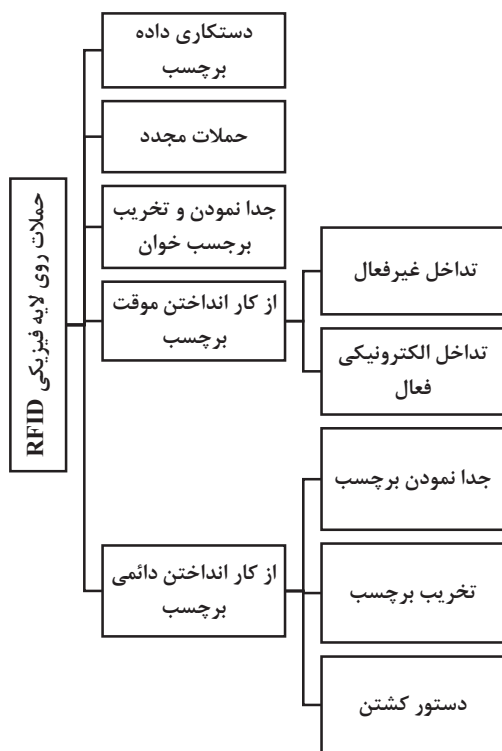
^۳Electronic Product Code

برچسبی بر اساس کلید عمومی و خصوصی باعث افزایش امنیت برای برچسبها شده است.

لیگل [۱۰]، روش جدیدی برای پوشش کردن فیلدهای RFID ارائه نموده است.

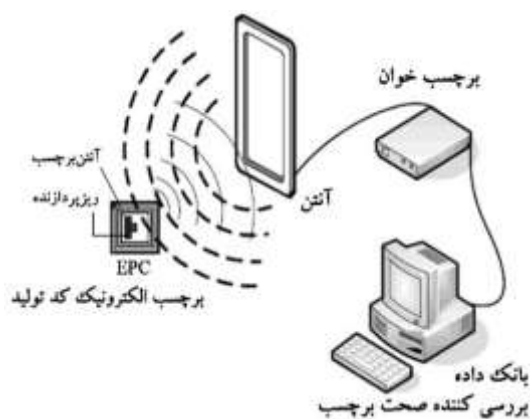
در مرجع [۱۲ و ۱۳]، چنگ از نشانه گذاری شکننده بر روی حافظه ی برچسب برای جلوگیری از دست کاری و تصادم^۹ استفاده کرده است. در این طرح نشانه در ۸ بیت از ۳۶ بیت شماره سریال برچسب تعبیه شده است و یک بیت دیگر نیز از شماره سریال به عنوان چک توازن^{۱۰} برای صحت نشانه اختصاص یافته است؛ بنابراین در مجموع ۹ بیت برای نشانه در نظر گرفته شده که ۸ بیت اصلی آن از خروجی تابع درهم سازی^{۱۱} است که ورودی تابع درهم ساز بیت های «مدیریت EPC» و «OC» می باشد.

در مرجع [۱۴] تشخیص دست کاری در برچسب های RFID با استفاده از نشانه گذاری شکننده مبتنی بر آشوب^{۱۲} بیان می شود که نه تنها توانایی تشخیص دست کاری را دارد، بلکه می تواند فیلدی از برچسب که مورد دست کاری قرار گرفته است، شناسایی کند.



شکل ۲. فلوجارت حمله برای اخلاص در لایه فیزیکی [۶].

پیاده سازی می باشد. از این ۱۲۸ بیت، ۹۶ بیت برای کد EPC و ۳۲ بیت برای تصحیح خطای داده ها و فرمان کشتن^۴ به کار می رود. ساختار ذخیره داده ی «کد تولید» در چنین برچسب هایی بر اساس جدول ۱ است. میدان بیت های سرآیند^۵ بیانگر طول، نوع، ساختار، ویرایش و نسل کد EPC است. «مدیریت EPC» تولید کننده ی برچسب را مشخص می کند. میدان^۶ «OC» تعیین کننده ی نوع شیء ای است که برچسب بر آن نصب می شود و شماره ی سریال رادیوشناسه، برای تمایز هر شیء از یک نوع، توسط تولید کننده مورد استفاده قرار می گیرد [۵ و ۶].



شکل ۱. نمای کلی از ساختار RFID.

جدول ۱. جدول ساختار ۹۶ بیت EPC [۶].

| Header | (EM) EPC Manager | (OC) Obiect Class | (SN) Seriya Number |
|--------|---------------------|----------------------|-----------------------|
| ۸ بیت | ۲۸ بیت | ۲۴ بیت | ۳۶ بیت |

بررسی کارهای پیشین

شکل ۲ حملات بر روی لایه فیزیکی RFID را نشان می دهد. تحقیقات فراوانی در مورد امنیت RFID صورت گرفته است. فیلدهفر و همکارانش [۷] به بررسی الگوریتم رمزنگاری AES^۸ در حوزه امنیت RFID پرداخته اند که قابل پیاده سازی بر روی RFID های ارزان قیمت نمی باشند.

در مرجع [۹]، RFID را بر مبنای احراز هویت مبتنی بر کلید عمومی و خصوصی، بررسی نموده اند. جولز و همکارانش [۸]، تحقیقاتی در مورد دست کاری برچسب های RFID انجام داده اند و راهکارهای افزایش امنیت را بررسی کرده اند. مرجع [۱۱]، با ارائه

^۹ Collision

^{۱۰} Parity Check

^{۱۱} Hash Function

^{۱۲} Chaos

^۴ Kill Command

^۵ Header

^۶ Field

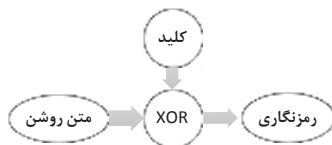
^۷ Object Class

^۸ Advanced Encryption Standard

رویکرد پیشنهادی

این مقاله به رفع آسیب‌پذیری لایه فیزیکی RFID پرداخته است. لازم به ذکر است که عامل تعداد کم بیت‌های حافظه (۹۶ بیت) و دودویی بودن محتوی آن، به‌کارگیری روش‌های متعارف چکیده‌سازی پیام و نشانه‌گذاری را غیرممکن می‌کند. از این رو باید از رویکردهایی که قابل اعمال بر داده‌های دودویی با حجم کم می‌باشند، استفاده نمود. روش نشانه‌گذاری مبتنی بر شبکه عصبی به‌منظور تشخیص دست‌کاری پیشنهاد گردیده که یک گام نوین در امنیت RFID می‌باشد.

کلود شانون^{۲۳} اثبات کرد در رمزنگاری ورنام^{۲۴}، اگر کلید تصادفی باشد و از یک کلید دو بار استفاده نشود، این رمزنگاری XOR «بی‌قید و شرط» امن خواهد بود (مطابق شکل ۴). میزان توان محاسباتی رمزشکن هیچ تأثیری بر شکستن رمز ندارد [۱۸].



شکل ۴. رمزنگاری ورنام.

در روش پیشنهادی از شبکه عصبی استفاده شده است که هر نرون آن نقش رمزنگاری قفل یکبار مصرف^{۲۵} را دارد. خصوصیت برگشت‌ناپذیری باعث کاربرد مفید آن برای طراحی الگوریتم‌های رمزنگاری شده است [۱۹].

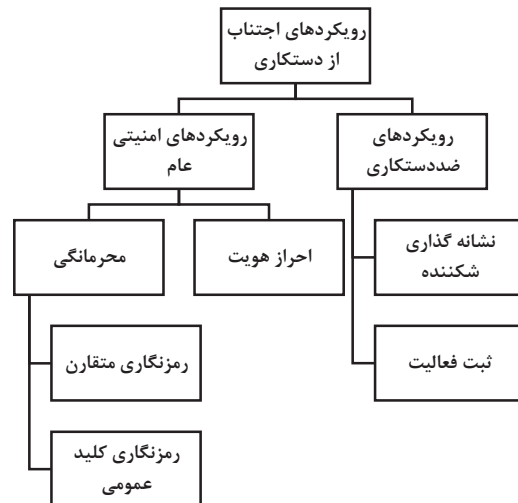
شبکه عصبی نگاشتی از بیت‌های ورودی به خروجی می‌باشد که بدون داشتن وزن‌ها و بایاس‌ها این نگاشت امکان‌پذیر نیست. وزن‌ها و بایاس‌ها نقش کلید رمزنگاری را دارند [۲۰].

در الگوریتم پیشنهادی به‌کارگیری ساختار توزیع‌شده و موازی شبکه عصبی سرعت پردازش را افزایش می‌دهد و ویژگی درهم‌پیچیدگی و پخش‌کنندگی شبکه عصبی موجب برهم زدن الگوی کد می‌شود. این الگوریتم جهت تشخیص دست‌کاری در سیستم شناسایی برچسب پیاده‌سازی می‌گردد.

نشانه‌گذاری در هنگام برنامه‌ریزی برچسب صورت می‌گیرد و پردازشی بر روی برچسب ایجاد نمی‌کند. پروتکل‌های سبک وزن RFID باید عملیات ساده داشته باشند. بدین منظور از عملیات ساده زیر برای پیاده‌سازی الگوریتم بهره برده شده است:

نشانه‌گذاری، روشی است که در آن از علامت‌گذاری‌های اضافی^{۱۴} برای افزودن استحکام^{۱۵} به داده‌ی محرمانه استفاده می‌شود. ایده‌ی اصلی در نشانه‌گذاری آن است که سیگنال یا علامتی موسوم به نشانه^{۱۶} را به داده‌های میزبان بیفزاید به نحوی که علاوه بر نهان و ایمن بودن، بتوان آن را به شرط داشتن کلید رمزنگاری، به‌صورت جزئی یا کامل از کل داده موجود، بازیابی نماید. طراحی نشانه، یک موازنه بین نامرئی بودن^{۱۷} و استحکام است. هرچه نشانه با قابلیت‌های بیشتری باشد، پنهان کردن آن دشوارتر می‌گردد. روش‌های مختص به نشانه‌گذاری متن، به پنهان‌سازی اطلاعات در مفهوم^{۱۸} و قالب^{۱۹} تقسیم‌بندی می‌شوند [۱۵]. به دلیل محدودیت داده‌های RFID از روش نشانه‌گذاری قالب استفاده می‌شود؛ یعنی بخشی از فضای حافظه‌ی برچسب، به ذخیره‌ی نشانه اختصاص می‌یابد که از انجام محاسبات خاصی بر سایر اجزای این حافظه به دست می‌آید [۱۶].

در شکل ۳ لزوم انتخاب نشانه‌گذاری برای آشکارسازی دست‌کاری را نشان می‌دهد. آشکارسازی دست‌کاری به‌منظور حفظ صحت داده‌های^{۲۰} برچسب از تغییرات احتمالی عمدی و غیرعمدی می‌باشد. از انواع نشانه‌گذاری می‌توان نشانه‌گذاری مستحکم^{۲۱}، نشانه‌گذاری شکننده و نشانه‌گذاری نیمه شکننده^{۲۲} را نام برد [۱۷].



شکل ۳. فلوچارت رویکردهای اجتناب از دست‌کاری [۶].

^{۲۰}Data Integrity

^{۲۱}Roublast Watermarking

^{۲۲}Semi-Fragile Watermarking

^{۲۳}Claude Shannon

^{۲۴}Vernam

^{۲۵}One Time Pad

^{۱۳}Watermarking

^{۱۴}Additional Notation

^{۱۵}Robustness

^{۱۶}Watermark

^{۱۷}Imperceptibility

^{۱۸}Semantic

^{۱۹}Format

در نظر گرفتن اوزان $W_{4,5,6}(x)$ و پیام $M_2(x)$ شبکه عصبی دوم، بیت های نشانه را ایجاد می کند.

مرحله سوم: شامل عمل جایگذاری شبه تصادفی نشانه در میدان شماره سریال می باشد. مولد مکان های تصادفی^{۲۶} با بردار آغازین^{۲۷} $(IV(x))$ راه اندازی می شود و هشت جایگاه تصادفی برای بیت های نشانه، تخصیص داده می شود.

مرحله چهارم: ۲۸ بیت چکیده پیام ایجاد شده را با شماره سریال XOR می کنیم. این کار برای جلوگیری از حملات متن اصلی منتخب^{۲۸} صورت می گیرد (یعنی حالتی که مهاجم کد EPC را در اختیار داشته باشد). در نهایت کد نشانه در جایگاه تصادفی قرار داده و بدین ترتیب برچسب نشانه گذاری شده ایجاد می گردد.

لازم به ذکر است که سازنده کالا کد شماره سریال را به صورت کد ۹۶ بیتی ایجاد می کند که ۸ بیت آن جهت نشانه گذاری ذخیره شده است.

در ادامه به شرح جزئیات مراحل ذکر شده، مطابق شکل ۷ پرداخته می شود. با استفاده از داده برچسب که بر اساس جدول ۱ است، چند جمله ای $M_1(x)$ مطابق الحاق بیتی زیر به دست می آید:

$$M_1(x) = \text{Header} \parallel \text{EPC Manager} \parallel \text{Object Class} \quad (1)$$

در جانشینی بیتی ذکر شده با در اختیار داشتن ۸ بیت سرآیند^{۲۹}، مدیریت EPC با ۲۸ بیت و کلاس شیء با ۲۴ بیت، رشته $M_1(x)$ با طول ۶۰ بیت تشکیل می گردد. لازم به ذکر است، عملگر \parallel در رابطه (۱) بیانگر عملگر الحاق رشته بیتی می باشد.

چگونگی تولید $W_1(x)$ و $W_2(x)$ در بخش شبکه عصبی توضیح داده می شود. در مرحله بعد از اعمال چند جمله ای $M_1(x)$ ایجاد شده به شبکه عصبی اول کد پیام $C(x)$ ایجاد می گردد. از الحاق بیتی $C(x)$ ایجاد شده از شبکه عصبی اول و شماره سریال برچسب، $M_2(x)$ ایجاد می گردد. $M_2(x)$ با استفاده از عمل جانشینی زیر به دست می آید:

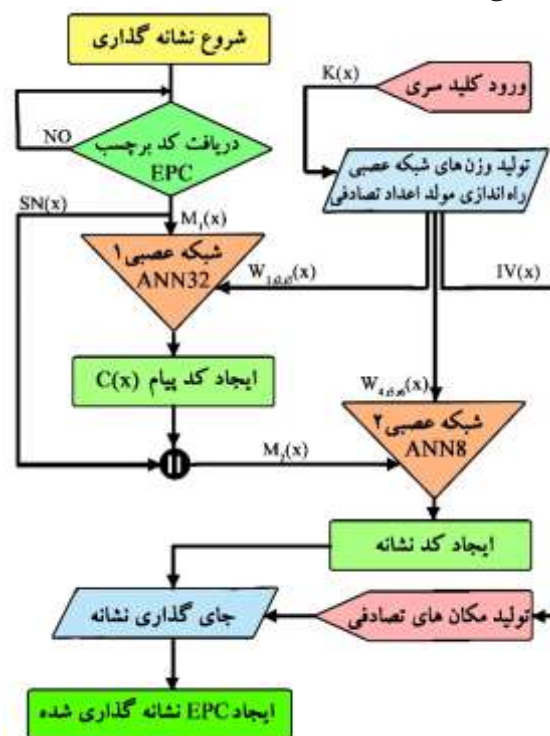
$$M_2(x) = C(x) \parallel \text{Serial Number (28 bits)} \quad (2)$$

پس از اعمال $M_2(x)$ به شبکه دوم، هشت بیت خروجی شبکه عصبی دوم به عنوان نشانه در نظر گرفته می شود. در این مرحله مکان بیت های نشانه با استفاده از مولد اعداد شبه تصادفی در میدان شماره سریال مشخص می شود. در واقع هدف، به دست آوردن مکان هایی است که بیت های نشانه در آن مخفی می گردند. با استفاده از رابطه (۳) هشت مکان یا عدد تصادفی بین صفر تا ۳۶ تولید می شود [۲۱].

- عملیات ساده جمع پیمانه ای، XOR، AND، OR، ROT

- استفاده از مولدهای شبه تصادفی

پیش از تفصیل الگوریتم پیشنهادی، باید توجه داشت هر روش نشانه گذاری از دو بخش «طراحی کد نشانه» و «طراحی روش تعبیه کد در داده» تشکیل شده است. الگوریتم پیشنهادی پس از یک فرآیند چهار مرحله ای، هشت بیت نشانه را تولید می کند و در مکان بیتی نامشخص در میدان شماره سریال داده ی برچسب قرار می دهد. فرآیند الگوریتم مطابق شکل ۵ می باشد. این الگوریتم با داشتن کد EPC تولید کننده کالا و کلید سری شروع به تولید نشانه می کند.



شکل ۵. فلوچارت رویکرد پیشنهادی نشانه گذاری.

جزئیات چگونگی تولید نشانه در شکل ۷ آمده است.

مرحله اول: پس از دریافت دنباله بیت های کد EPC یک رشته بیتی به نام $M_1(x)$ از EPC ایجاد می گردد. $M_1(x)$ ورودی شبکه عصبی اول می باشد. بلوک تولید کننده ی وزن های شبکه عصبی با استفاده از کلید سری، اوزان $W_{1,2,3}(x)$ را ایجاد می کند. با اعمال $M_1(x)$ و $W_{1,2,3}(x)$ به شبکه عصبی اول، کد $C(x)$ ایجاد می گردد. چگونگی تولید رشته های بیتی در ادامه توضیح داده می شود.

مرحله دوم: در این مرحله با عمل الحاق بیتی شماره سریال EPC و $C(x)$ ایجاد شده از مرحله قبل، پیام $M_2(x)$ ایجاد می شود و با

^{۲۹}Header

^{۲۶}Pseudo Random Number Generator

^{۲۷}Initialization Vector

^{۲۸}Chosen Plaintext Attack

| | | | | | | | | | | | | | | | | | |
|------------------|---|---|---|---|---|---|---|---|---|---|---|---|---|---|---|---|---------|
| Key ₈ | 0 | 1 | 0 | 1 | 0 | 0 | 1 | 1 | 0 | 0 | 1 | 0 | 1 | 0 | 1 | 0 | LFSR(0) |
| Key ₇ | 1 | 1 | 0 | 0 | 1 | 1 | 1 | 0 | 1 | 1 | 1 | 0 | 1 | 0 | 1 | 0 | LFSR(1) |
| Key ₆ | 0 | 0 | 1 | 1 | 1 | 0 | 0 | 0 | 0 | 1 | 1 | 1 | 0 | 1 | 0 | 1 | LFSR(2) |
| Key ₅ | 1 | 0 | 1 | 0 | 1 | 1 | 0 | 1 | 0 | 0 | 1 | 0 | 0 | 0 | 1 | 0 | LFSR(3) |
| Key ₄ | 1 | 1 | 0 | 0 | 0 | 1 | 1 | 0 | 0 | 1 | 1 | 0 | 0 | 1 | 1 | 0 | LFSR(4) |
| Key ₃ | 0 | 1 | 0 | 1 | 0 | 0 | 1 | 1 | 1 | 0 | 0 | 1 | 1 | 0 | 0 | 1 | LFSR(5) |
| Key ₂ | 0 | 0 | 1 | 0 | 1 | 0 | 0 | 1 | 0 | 0 | 1 | 0 | 0 | 0 | 1 | 0 | LFSR(6) |
| Key ₁ | 1 | 0 | 1 | 0 | 0 | 1 | 1 | 0 | 1 | 0 | 1 | 0 | 1 | 0 | 1 | 0 | LFSR(7) |

شکل ۶. فرآیند تولید ۸ کلید مکان‌های تصادفی.

تشخیص دست‌کاری

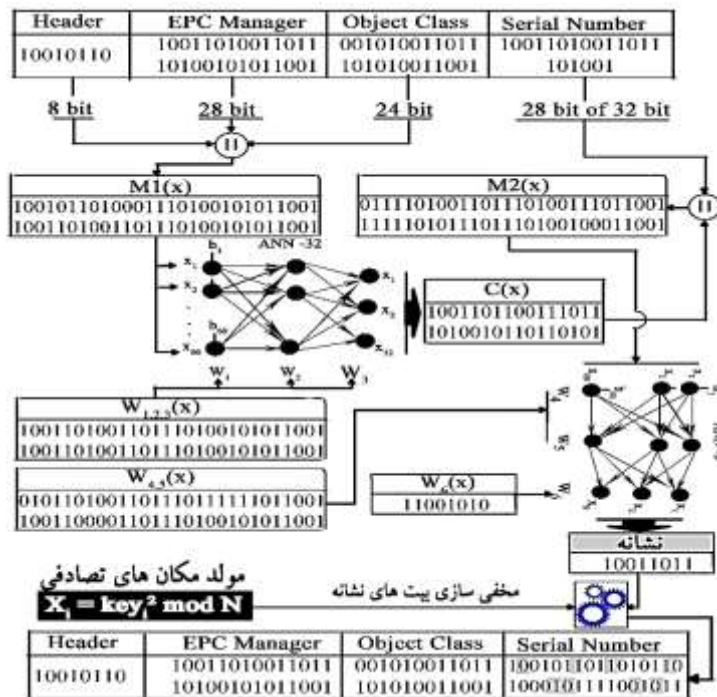
تشخیص دست‌کاری در دو گام صورت می‌گیرد.

گام اول: استخراج نشانه

ابتدا $M1(x)$ طبق رابطه (۱) تولید نموده و با استفاده از الگوریتم ANN32 مقدار رشته بیتی $C(x)$ تولید می‌گردد؛ سپس با استفاده از رابطه (۳) و داشتن کلید، مکان بیت‌های نشانه تعیین می‌شود و به این ترتیب نشانه استخراج می‌گردد. حال باید نشانه‌ای که از کد EPC تولید شده با نشانه‌ی استخراج شده مقایسه شود.

$$X_i = key_i^2 \text{ mod } N \quad (3)$$

عملکرد این تابع شبیه مولد عدد شبه تصادفی BBS^{۳۰} می‌باشد. X_i مکان تصادفی، Key_i معادل کد دهنده کلید فرعی است و N برابر ۳۶ می‌باشد. ۸ عدد تصادفی تولید شده توسط مولد شبه تصادفی، معادل مکان‌های نشانه در ۳۶ بیت شماره‌سریال می‌باشند. مقادیر تصادفی را تنها کسی که از مقدار $K(x)$ اطلاع دارد، می‌تواند تولید کند. Key_i مانند کلید فرعی هستند که از کلید اصلی مشتق شده‌اند. کلید اصلی را به صورت ستونی در یک جدول ۸ در ۱۶ جایگذاری می‌شود. هر سطر به اندازه شماره سطر آن منهای یک، شیفت چپ چرخشی^{۳۱} داده می‌شود. ۸ سطر جدول همان ۸ کلید (Key_i) مولد مکان تصادفی می‌باشند که از باقیمانده مجذور آن به پیمانه ۳۶ مکان‌های تصادفی به دست می‌آید. برای درک بهتر به شکل ۶ توجه کنید. نکته‌ی قابل توجه این است که ۸ عدد تولید شده، باید متفاوت باشند. در صورتی که X_i با مقادیر قبلی تولید شده مساوی باشد، به key_i آن یک واحد اضافه می‌شود و مجذور می‌گردد و حاصل دوباره به پیمانه ۳۶ برده می‌شود. این روند ادامه داده می‌شود تا عدد به دست آمده با اعداد قبلی متفاوت باشد؛ به عبارت دیگر پس از هر بار تولید یک عدد، باید با تمام اعداد تولید شده قبلی مقایسه گردد.



شکل ۷. فرآیند تولید نشانه (علامت^{۳۱}) مبین عملگر الحاق رشته بیتی است.

^{۳۱} Circular Left Shift

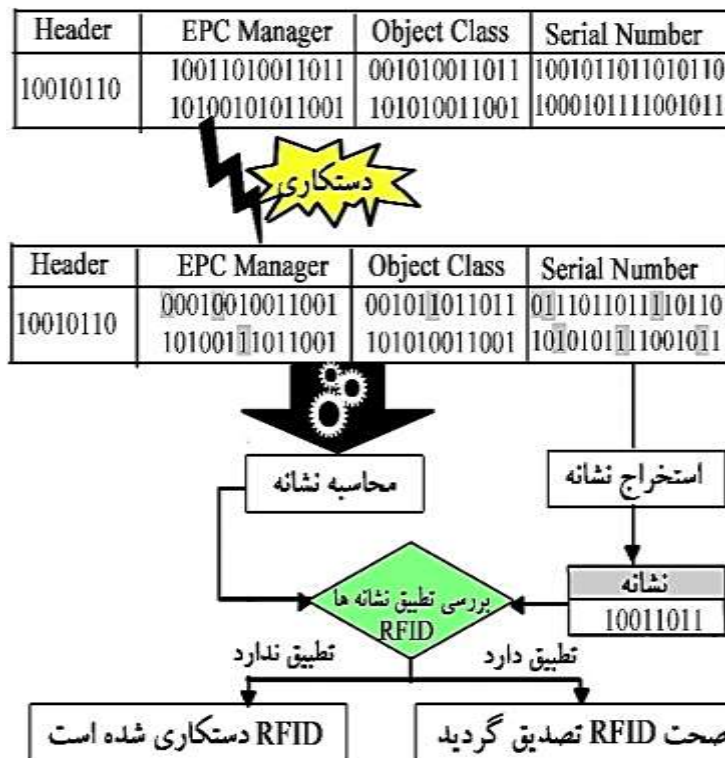
^{۳۰} Blum, Blum, and Shub

گام دوم: تولید نشانه

۸ بیت نشانه استخراج شده گام اول در حافظه‌ای ذخیره می‌گردد. حال از این کد EPC، بیت‌های نشانه محاسبه می‌شوند. بدین منظور از الگوریتم تولید نشانه توضیح داده شده در بخش قبل، برای ایجاد نشانه، اجرا می‌گردد. ۲۸ بیت از ۳۲ شماره سریال پس از جداسازی نشانه با چکیده پیام XOR شده و بعد به $C(x)$ الحاق می‌گردد. سپس $M_2(x)$ تولید و به الگوریتم دوم (ANN8) وارد می‌شود و بیت‌های نشانه، محاسبه می‌گردند. اکنون بیت‌های نشانه محاسبه شده از کد EPC، با بیت‌های نشانه‌ی استخراج شده در گام اول، مقایسه می‌گردند. در صورت عدم تساوی آن‌ها، دست‌کاری تشخیص داده می‌شود. نمونه‌ای از عملیات شرح داده شده در شکل ۸ آورده شده است. همان‌طور که در شکل مشاهده می‌شود، تعدادی از بیت‌ها بر اثر دست‌کاری یا خطا تغییر نموده است. در گام آخر بیت‌های نشانه‌ی استخراج شده با نشانه‌ی محاسبه شده، مقایسه می‌گردد و در صورت عدم تطبیق، دست‌کاری برچسب مورد تأیید است.

شبکه عصبی

مزیت رویکرد پیشنهاد شده، علاوه بر موارد یادشده استفاده از شبکه عصبی است. ساختار شبکه عصبی، جایگشت^{۳۳} و جانشینی^{۳۴} ایجاد می‌کند و به‌گونه‌ای تعلیم می‌بیند که همبستگی چکیده پیام را با کد حداقل نماید. طبق آزمون‌های گرفته‌شده، شبکه عصبی یک تابع به‌طور کامل یک‌طرفه است. فرآیند دو مرحله‌ای با استفاده از کلیدهای فرعی احتمال تشخیص نحوه‌ی محاسبه‌ی نشانه را بسیار دشوار و دور از دسترس کرده و بر استحکام روش می‌افزاید. روش تولید اوزان به‌طوری طراحی شده که ابهام و پیچیدگی را باهم داشته باشد [۲۰]. عناصر پردازشی در شبکه عصبی مصنوعی طراحی شده، دارای تابع فعال‌ساز پله^{۳۴} می‌باشند که می‌تواند به‌صورت بلادرنگ عمل کنند و زمانی از پردازش را به خود اختصاص ندهد. x_i مبین بیت ورودی شبکه است که دارای مقادیر صفر و یک می‌باشد. x_i ها بیت‌هایی از پیام‌های $M_1(x)$ و $M_2(x)$ می‌باشند. تمام وزن‌ها (W_{ij}) ورودی را به خروجی نگاشت می‌کنند.



شکل ۸. فلوچارت حمله برای اخلال در انطباق، فرآیند تشخیص تغییر.

^{۳۳} Step Activation Function

^{۳۴} Permuted Choice One

^{۳۳} Substitution Choice One

$K(x)$ یک رشته با طول ۱۲۸ بیتی است که توسط سازنده برچسب به عنوان کلید نشانه‌گذاری به الگوریتم داده می‌شود. به منظور ایجاد وزن‌ها، ابتدا رشته‌های بیتی A, B, D و E طبق روابط زیر تشکیل می‌گردند:

$$A(x_\alpha) = K(x_\alpha), \alpha = 1, 2, 3, \dots, 60 \quad (7)$$

$$B(x_\alpha) = -K(x_\alpha), \alpha = 61, 62, 63, \dots, 120 \quad (8)$$

$$Z = \text{Decimal}(x_1 x_2 x_3 \dots x_{60}), x_i \in K(x) \quad (9)$$

$$S_1 = Z^2 \text{ mod } 28 \quad (10)$$

$$S_{i+1} = S_i^2 \text{ mod } 28 \quad (11)$$

$$D(x_\alpha) = SN(s_\alpha), \alpha = 1, 2, 3, \dots, 60 \quad (12)$$

$$E(x) = -SN(s_\alpha), \alpha = 61, 62, 63, \dots, 120 \quad (13)$$

با استفاده از A, B, D, E تشکیل شده وزن‌های شبکه عصبی، طبق روابط (۱۴) تا (۲۰) تولید می‌شوند.

$$W_1(x) = AB \vee \text{not}(A) D \quad (14)$$

$$W_2(x) = AB \vee DE \quad (15)$$

$$W_3(x) = E(x_\alpha) + K(x_\alpha) \gg 5, \alpha = 1, \dots, 32 \quad (16)$$

$$W_4(x) = BE \vee D \text{ not}(E) \quad (17)$$

$$W_5(x_i) = A \oplus B \oplus D \oplus E \quad (18)$$

$$W_6(x_i) = B(x_j) + K(x_i) \gg 5 \quad (19)$$

$j \in [1, 8], i \in [121, 128]$

در رابطه‌های بیان شده از $\text{NOT}(A)$ به عنوان عملگر نقیض بیتی، رابطه $A \vee B$ به معنی عملگر فصل (OR) دو جمله و رابطه AB نشان دهنده عملگر عطف (AND) دو جمله A و B می‌باشند. عملگر + نشان دهنده جمع نظیر به نظیر است. علامت‌های \oplus و \gg به ترتیب مبین XOR و شیفت چرخشی است. مشاهده می‌شود که به منظور استحکام الگوریتم از مولد تصادفی، جایگشت، جانشینی، شیفت چرخشی و توابع ابهام^{۲۵} استفاده شده که موجب افزایش امنیت الگوریتم می‌گردد. تحلیل رابطه (۱۴) بدین صورت است که اگر A آنگاه B ، در غیر این صورت D می‌باشد [۲۲].

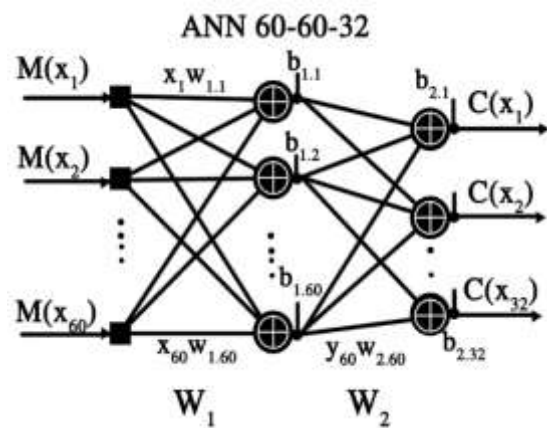
تابع وزن $W_1(x)$ می‌توانست طوری تعریف شود که به جای استفاده از \vee از $+$ استفاده کند، زیرا AB و $\text{NOT}(A)$ هرگز یک‌هایی در موقعیت بیتی یکسان نخواهد داشت. توابع $W_4(x)$ شبیه تابع $W_1(x)$ هستند، به طوری که آن‌ها در «توازی بیتی» کار

خروجی هر نرون از حاصل ضرب هر ورودی با وزن آن لینک ایجاد می‌شود که در پایان از یک تابع پله عبور می‌کند. ورودی هر تابع فعال‌ساز متغیر σ_{ji} از رابطه (۴) به دست می‌آید.

$$\sigma_{ji} = \sum_{i=1}^N W_{ji} x_i \quad (4)$$

در رابطه (۴)، i و j به ترتیب بیانگر شماره نرون لایه و شماره لایه می‌باشند. در شکل ۹ ساختار شبکه عصبی نشان داده شده است. خروجی هر نرون τ بدین صورت محاسبه می‌گردد.

$$\tau_{ji} = \text{step}(\sigma_{ji}) \quad (5)$$



شکل ۹. ساختار شبکه عصبی پیشنهادی.

در رابطه (۵)، Step بیانگر تابع پله می‌باشد که خروجی آن برای مقادیر بزرگتر مساوی از صفر، برابر یک و در غیر این صورت صفر می‌باشد. ساختار شبکه عصبی ANN-8 و ANN-32 به ترتیب ۳۲-۶۰-۶۰ و ۸-۶۰-۶۰ می‌باشند؛ یعنی ۶۰ نرون در لایه ورودی و مخفی دارد و به تناسب هر مرحله الگوریتم پیشنهادی، شبکه عصبی اول، ۳۲ و در شبکه عصبی دوم، ۸ نرون در لایه خروجی وجود دارد (مطابق ساختار شکل ۷).

مولد اولیه وزن‌ها

همان طور که می‌دانید هدف از آموزش شبکه عصبی تعیین مقدار بهینه وزن‌ها است. در این تحقیق، هدف از آموزش کاهش همبستگی ورودی و خروجی شبکه عصبی می‌باشد. وزن‌های اولیه شبکه عصبی مانند کلید فرعی هستند که از کلید اصلی $K(x)$ استخراج می‌شوند. بیت‌های رشته کلید اصلی به صورت (۶) نام‌گذاری می‌شوند.

$$K(x) = \{x_1, x_2, x_3, \dots, x_{127}, x_{128}\} \quad (6)$$

۲. رابطه دوم بروز رسانی وزن نرون ها (قدم زدن تصادفی) [۲۶]:

$$W_i^+ = W_i + x_i \theta(\tau_{ji} \tau_{(j+1)i}) \theta(\tau^a \tau^b) \quad (21)$$

در روابط بالا، θ تابع ویژه‌ای می‌باشد که $\theta(a,b)=0$ اگر $a \neq b$ باشد، در غیر این صورت θ برابر یک می‌شود.

شرایط توقف آموزش از این قرار است:

- کاهش همبستگی از حد آستانه تعیین شده.
- عدم تغییرات قابل توجه همبستگی در طی چندین دوره آموزش.
- تعداد دوره‌های آموزش از تعداد دوره‌های تعیین شده بیشتر گردند.
- افزایش همبستگی در چندین دوره متوالی.
- دو نرون متصل به هم با خروجی یکسان وجود نداشته باشد.

پارامترهای شرایط توقف توسط کاربر قابل تنظیم است.

تحلیل و مقایسه

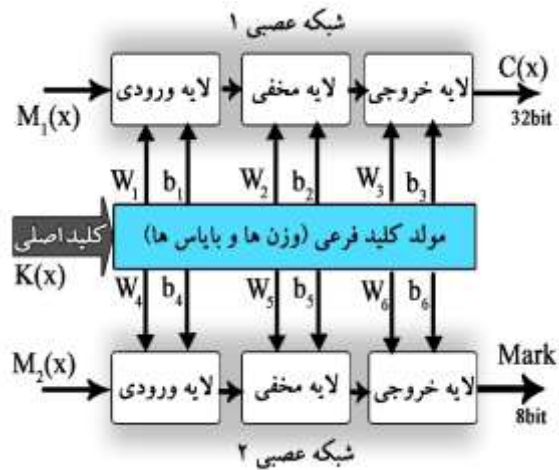
این پژوهش به حفاظت از تغییر داده‌های برچسب EPC پرداخته که پرکاربردترین برچسب RFID می‌باشد و نیز تمام بیت‌ها را به منظور اطلاع از دست‌کاری بررسی می‌کند. این در حالی است که رویکرد پیشنهادی نسبت به روش‌های پیشین، تعداد بیت‌های کمتر یا مساوی به نشانه اختصاص می‌دهد و محل نشانه‌گذاری نیز پنهان می‌باشد. این رویکرد علاوه بر عدم نیاز به محرمانگی الگوریتم نشانه‌گذاری، مزایای دیگری از قبیل سهولت پیاده‌سازی و سرعت عملکرد را نیز داراست. امروزه در کارهای تجارتي محرمانه نگاه داشتن الگوریتم کار دشواری می‌باشد.

شبکه‌های عصبی الگوریتم پیشنهادی باعث می‌گردد که همبستگی چکیده پیام با کد حداقل شود و طبق آزمون‌های گرفته شده از الگوریتم، شبکه‌های عصبی از توابع یک‌طرفه هستند، به طوری که با داشتن وزن‌ها و خروجی نمی‌توان به ورودی یکتایی دست یافت.

الگوریتم پیشنهادی می‌تواند در برچسب خوان به صورت نرم‌افزاری، پیاده‌سازی شود و نیاز به سخت‌افزار اضافه نیز نخواهد داشت. در صورت نیاز به پیاده‌سازی سخت‌افزاری، این الگوریتم قابل پیاده‌سازی بر روی یک میکروکنترلر می‌باشد، زیرا الگوریتم پیشنهادی یک الگوریتم سبک است. تعداد عملگرهای آن بسیار کمتر از روش‌های سنتی می‌باشد.

در مرجع [۱۳] در مجموع ۹ بیت برای نشانه در نظر گرفته شده که ۸ بیت اصلی آن از خروجی تابع درهم‌سازی است. ورودی تابع

می‌کنند تا خروجی‌شان را از بیت‌های A, B, D و E تولید نمایند. در چنین روشی اگر بیت‌های متناظر A, B, D و E مستقل و غیرمرتبط باشند، در این صورت هر بیت از وزن‌ها مستقل و غیرمرتبط خواهند بود. در نتیجه ارتباط بی‌تی نمی‌توان پیدا نمود. در این روابط ابتدا علامت هر بیت محاسبه و در نهایت به نتیجه اعمال می‌شود. پس از ایجاد وزن‌ها تولیدی به صورت شکل ۱۰ به شبکه اعمال می‌شوند [۲۲].



شکل ۱۰. مولد وزن‌های شبکه عصبی پیشنهادی.

آموزش شبکه عصبی

آموزش فرآیندی است که در نهایت منجر به یادگیری می‌شود. یادگیری شبکه زمانی انجام می‌گردد که وزن‌های ارتباطی بین لایه‌ها چنان تغییر کند که همبستگی ورودی و خروجی حداقل گردد. با دستیابی به این شرط، فرآیند یادگیری محقق شده است. این وزن‌ها بیانگر حافظه و دانش شبکه هستند. طبق قسمت قبل، وزن‌ها مقادردهی اولیه و داده‌های ورودی به آن‌ها اعمال می‌شود. همبستگی خروجی به دست آمده با ورودی محاسبه می‌گردد و اگر شرایط توقف حاکم نبود با استفاده از رابطه (۲۰) و یا (۲۱) وزن‌ها از خروجی به ورودی تغییر داده می‌شود. از یکی از این دو رابطه برای بروز رسانی وزن‌ها در فرآیند آموزش استفاده می‌شود. اگر خروجی دو نرون متصل به هم یکسان باشد ($\tau^a = \tau^b$)، وزن آن‌ها بروز می‌گردد [۲۰].

۱. رابطه اول بروز رسانی وزن نرون‌ها:

$$W_i^+ = W_i - \sigma_i x_i \theta(\tau_{ji} \tau_{(j+1)i}) \theta(\tau^a \tau^b) \quad (20)$$

آن را دست‌کاری نماید. بدین منظور ۱۲ بیت به نشانه اختصاص داده شده که به‌طور نامنظم در شماره سریال تعبیه شده است، ولی نشانه تعداد زیادی از بیت‌ها ارزشمند EPC را به خود اختصاص داده است.

به علت استفاده از شبکه عصبی ANN-32، در کل ۲۱۰ حالت پیچیدگی در هر کدام از لایه ورودی اول و لایه مخفی و ۲۳۲ حالت پیچیدگی در خروجی ایجاد می‌گردد.

شبکه عصبی ANN-8 مانند شبکه اول است، فقط در لایه خروجی ۸ نرون دارد که ۲^۸ پیچیدگی ایجاد می‌کنند. هنگامی که لایه‌ای از ANN، ۶۰ ورودی داشته باشد برای هر نرون باینری ۲^{۶۰} حالت به وجود می‌آید.

مزیت آشکار رویکرد ارائه شده آن است که مکان بیت‌ها نشانه قابل پیش‌بینی نیست.

ایراد کدهای CRC، ماهیت خطی آن‌ها است که آن را آسیب‌پذیر می‌نماید [۲۴]. مزیت شبکه‌های عصبی این است که ساختارهای موازی را به‌خوبی پشتیبانی می‌کنند و نیز می‌توان آن‌ها را به‌صورت نرم‌افزاری پیاده‌سازی نمود. البته باید نسبت به محرمانه ماندن کلید اصلی $K(x)$ احتیاط شود. در نهایت این مقاله با استفاده از ساختار موازی شبکه عصبی در کاهش حجم محاسبات کاهش چشم‌گیری داشته است. در ادامه در جدول ۲ روش‌های پیشین با الگوریتم پیشنهادی مقایسه شده است.

درهم‌ساز بیت‌های «مدیریت EPC» و «OC» می‌باشد. تابع درهم‌ساز بر روی سرآیند و شماره‌سریال اعمال نمی‌شود و نویسنده معتقد است که دست‌کاری بر روی شماره‌سریال خطرناک نیست. دست‌کاری شماره‌سریال کالا را بی‌ارزش می‌کند و می‌تواند باعث اختلال در کار انبارداری شود. می‌توان با تغییر شماره سریال کالای معیوب را با کالای سالم از همان نوع تعویض نمود. از اشکالات لاینفک این نوع رویکردها آن است که نشانه‌گذاری با استفاده از تابع محرمانه انجام می‌شود و نیز امنیت این طرح به مخفی ماندن تابع درهم‌سازی بستگی دارد. این فرض اصل کرکهف [۲۳] را نقض می‌کند که امنیت نباید وابسته به مخفی نگه‌داشتن الگوریتم باشد. از آنجایی که تابع الگوریتم بین افراد درگیر در تجارت RFID به اشتراک گذاشته می‌شود، بحث ایجاد اعتماد بسیار مهم می‌گردد؛ بنابراین در برابر حملات داخلی بسیار آسیب‌پذیر می‌شود.

مشکل رویکردهایی که موقعیت بیت‌های نشانه مشخص است باعث می‌شود روش تولید نشانه قابل تحلیل باشد. در نتیجه مهاجم می‌تواند به آسانی بیت‌های نشانه را متناسب با داده تغییر یافته برچسب تغییر دهد.

مرجع [۱۴] مبتنی بر آشوب، علاوه بر تشخیص دستکاری قابلیت تصحیح نیز دارد. استفاده از تابع درهم‌ساز و ایجاد هرج و مرج در توالی بیت‌ها، مهاجم نمی‌تواند به سادگی نشانه را استخراج کند و

جدول ۲. مقایسه‌ای بین روش‌های پیشین و الگوریتم پیشنهادی.

| روش‌های تشخیص دست‌کاری EPC | مشخصه موردبررسی | تجهیزات لازم | مزایا | محدودیت‌ها |
|----------------------------|-----------------------------|--------------------------------|--|---|
| آشوب | کد EPC | سخت‌افزار با سرعت پردازش بالا | قابلیت اطمینان بالا و تصحیح کد | حجم بالای پردازش و تعداد زیاد بیت‌های مصرفی و گران بودن تجهیزات مورد نیاز الگوریتم |
| CRC | توازن | ارتقای نرم‌افزاری | پیاده‌سازی آسان | مکان بیت‌های نشانه قابل پیش‌بینی و وابستگی آن به انتخاب مناسب $G(x)$ ها |
| رمزنگاری AES | کل کد EPC | ارتقای نرم‌افزاری و سخت‌افزاری | قابلیت اطمینان بالا | قابل پیاده‌سازی بر روی RFIDهای ارزان قیمت نمی‌باشند و نیازمند کلید است. |
| تراشه‌های نوین RFID | داده درون برچسب | ارتقای تراشه RFID | قابلیت اطمینان بالا | نیاز به تغییر سخت‌افزار برچسب و هزینه بالا برچسب |
| کلید عمومی و خصوصی | کد EPC با کلید در بانک داده | ارتقای نرم‌افزاری | قابلیت اطمینان بالا و قابلیت احراز هویت | نیاز به توزیع کلید، هزینه بالا و عدم کارایی در مکان‌های توزیع شده با برچسب‌های زیاد |
| توابع درهم‌ساز | چکیده پیام کد EPC | ارتقای نرم‌افزاری و سخت‌افزاری | تشخیص آسان | مکان بیت‌های نشانه مشخص بوده و محرمانه بودن الگوریتم توابع چکیده‌ساز پیام |
| نشانه‌گذاری شکننده | نشانه کد EPC | ارتقای نرم‌افزاری | تشخیص آسان | عدم بررسی شماره سریال و اختصاص تعداد بیت بیشتری به نشانه و توازن |
| ثبت فعالیت‌ها | بررسی وقایع ثبت شده | ارتقای نرم‌افزاری و سخت‌افزاری | قابلیت اطمینان بالا | نیاز به اختصاص دادن حافظه به ثبت وقایع و نیازمند پروتکل خاص ثبت وقایع است. |
| شبکه عصبی | نشانه کد EPC | ارتقای نرم‌افزاری | تحت پوشش قرار دادن شماره سریال و اختصاص بیت کمتر | نیاز به کلید |

حمله به الگوریتم پیشنهادی

و به ارائه راهکاری عملی جهت امنیت RFID پرداخته شد. این راهکار براساس نشانه گذاری با استفاده از ابزار شبکه عصبی ارائه گردیده و عیوب تشخیص دست کاری برچسب در «خواننده برچسب» رفع شده است. به طور کلی این الگوریتم با داشتن عملیات دو مرحله ای به علت حالت زیاد ایجاد شده در خروجی شبکه، شکست الگوریتم، دور از دسترس می نماید.

این تحقیق توانسته است تنها ۸ بیت را به نشانه اختصاص دهد و نیز تمام بیت ها EPC از دست کاری حفاظت کند و به علت نامشخص بودن مکان ذخیره بیت های نشانه، تشخیص وجود نشانه ممکن نخواهد بود. مزیت این روش تصادفی بودن مکان کد نشانه و خواص ذکر شده شبکه عصبی می باشد. در نهایت با انتقال پردازش به خواننده برچسب، فضای ذخیره و پردازش در برچسب را آزاد نگه دارد. لازم به ذکر است که طرح پیشنهادی می تواند ویژگی های تمامیت و بهمنی را برآورده سازد و کارایی مطلوبی ارائه دهد.

مراجع

- [1] A. Rani and K. Sheoran, "ECC Cryptography for RFID Communication", International Journal for Technological Research in Engineering, Vol. 2, pp. 2639-2641, 2015.
- [2] K. Srivastava, A. K. Awasthi, S. D. Kaul and R. C. Mittal, "A Hash based Mutual RFID Tag Authentication Protocol in Telecare Medicine Information System", Journal of Meddical Systems, Vol. 39, pp. 153-160, January 2015.
- [3] K.-H. Yeh, N.-W. Lo, K.-Y. Tsai, Y. Li and E. Winata, "A Novel RFID Tag Identification Protocol: Adaptive n-Resolution and k-Collision Arbitration", Wireless Personal Communications, Vol. 77, pp. 1775-1800, Aug. 2014.
- [4] C. Floerkemeier and M. Lampe, "RFID Middleware Design Addressing Application Requirements and RFID Constraints", International Conference on Smart Object and Ambient Intelligence, France, pp. 219-224, 2005.
- [5] D. K. Klair, K. W. Chin and R. Raad, "On the Suitability of Framed Slotted Aloha based RFID Anti-Collision Protocols for Use in RFID-Enhanced WSNs", In Proceedings of 16th International Conference on Computer Communications and Networks, pp. 583-590, 2007.
- [6] F. Gandino, B. Montrucchio and M. Rebaudengo, "Tampering in RFID: A Survey on Risks and Defenses" Journal on Special Topics in Mobile Networks and Applications, Vol. 15, pp. 502-516, 2010.
- [7] M. Feldhofer, S. Dominikus and J. Wolkerstorfer, "Strong Authentication for RFID Systems using the AES Algorithm", Workshop on Cryptographic Hardware and Embedded Systems, LNCS, Vol. 3156, pp. 357-370, Aug. 2004.
- [8] A. Juels, R. L. Rivest and M. Szydlo, "The Blocker Tag: Selective Blocking of RFID Tags for Consumer Privacy", Proceedings of the 10th ACM Conference on Computer and Communications Security, ACM Press, pp. 1-9, 2003.
- [9] J. Grobschadle and S. Tillich, "Design of instruction Set Extensions and Functional Units for Energy Efficient Public Key Cryptography", Workshop on RFID and Lightweight Crypto, July 2005.
- [10] R. Lingle, "MIT's Economical RFID Field Probe", Packaging World, 2005.
- [11] P. Bernardi, F. Gandino, F. Lamberti, B. Montrucchio, M. Rebaudengo and E. R. Sanchez, "An Anti Counterfeit

علم «تحلیل رمز^{۳۷}» به مطالعه روش های اصولی می پردازد که بر اساس آن ها می توان بدون در اختیار داشتن کلید رمز، داده رمزنگاری شده را از رمز خارج کرد یا کلید رمز را به دست آورد.

✓ تحلیل خطی نشانه: با فرض در اختیار داشتن نشانه و معادل کد تولید نشانه گذاری نشده آن انجام می گیرد. در این روش سعی می شود که بین زیر مجموعه ای از بیت های کد EPC، نشانه و کلید اصلی (یکی از کلیدهای فرعی) رابطه خطی پیدا شود. به دلیل تصادفی بودن مکان های نشانه و خاصیت غیر خطی شبکه عصبی این تحلیل امکان پذیر نیست. از داشتن باقیمانده یک تقسیم نمی توان به مقسم دست یافت (mod).

✓ تحلیل تفاضلی^{۳۸} سیستم نشانه گذاری: در یک عبارت کلی، روش تحلیل تفاضلی بر این اصل استوار است که تغییرات بین دو کد EPC (حتی به اندازه یک بیت) چگونه بر روی نشانه خروجی تأثیر می گذارد و این دو نشانه چه اندازه با یکدیگر اختلاف دارند. عموماً میزان اختلاف فاصله همینگ^{۳۹} دو الگوی بییتی در نظر گرفته می شود. به کارگیری ساختار توزیع شده و ویژگی درهم پیچیدگی و پخش کنندگی شبکه عصبی موجب برهم زدن الگوی کد می شود و تغییر یک بیت کد EPC در ورودی باعث دگرگونی کل کد نشانه می گردد. شبکه عصبی به طوری عمل می کند که کمترین همبستگی بین ورودی و خروجی ایجاد گردد.

✓ حمله روز تولد: در مبحث آمار و احتمالات مسئله مشهور «روز تولد» وجود دارد که می پرسد در یک گروهی به طور متوسط چند نفر باید حضور داشته باشند تا جشن تولد حداقل ۲ نفر آن ها در یک روز باشد. حال با توجه به این مسئله چه تعداد برچسب های RFID باید وجود داشته باشد تا نشانه آن ها برابر گردد. این تعداد از رابطه زیر به دست می آید:

$$n \approx \sqrt{2 \ln\left(\frac{1}{1-p}\right)} \sqrt{N} \quad (22)$$

در رابطه فوق، p میان احتمال برابر شدن دو نشانه است. n و N به ترتیب بیانگر تعداد برچسب ها و N تعداد بیت های برچسب می باشد. این حمله هنگامی عملی است که محل بیت های نشانه معین باشد. محل بیت های نشانه به صورت تصادفی به وسیله کلید اصلی تعیین می گردد.

نتیجه گیری

در این مقاله، ابتدا چالش های امنیتی RFID مورد بحث قرار گرفت

^{۳۹}Hamming distance

^{۳۷}Cryptoanalysis

^{۳۸}Differential Cryptanalysis

- [17] H. Si and C. T. Li, "Maintaining Information Security in E-Government through Steganology", Department of Computer Science, University of Warwick, Citesser, 2008.
- [18] C. E. Shannon, "Communication Theory of Secrecy Systems", Bell System Technical Journal, No. 28, pp. 656-715, 1949.
- [19] N. Nagy and S. G. Akl, "One-Time Pads without Prior Encounter", Parallel Processing Letters, Vol. 20, No. 3, pp. 263-273, 2010.
- [20] V. Soni, M. S. Tanwar and K. V. Prema, "Implementation of Hash Function based on Neural Cryptography", International Journal of Computer Science and Mobile Computing, Vol. 3 No. 4, pp. 1380-1386, April 2014.
- [21] E. Barker, W. Barker, W. Burr, W. Polk, and M. Smid, "Recommendation for Key Management", NIST Special Publication, pp. 800-857, August 2007.
- [22] M. Stevens, "Single Block Collision Attack on MD5", Cryptology ePrint Archive, Report, 2006.
- [23] J. H. Hopman and B. Jacobs, "Increased Security through Open Source", Communcion of the ACM, Vol. 50, No 1, pp. 79-93, 2007.
- [24] R. Thompson, "RFID Technical Tutorial", Journal of Computing Sciences in Colleges, Vol 21, No. 5, pp 8-9, 2006.
- Mechanism for the Application Layer in Low Cost RFID Devices", 4th European Conference on Circuits and Systems for Communications, pp. 227-231, 2008.
- [12] T. Cheng and L. Jin, "Analysis and Simulation of RFID Anti Collision Algorithms", Proceedings of 9th International Conference on Advanced Communication Technology, pp. 697-701, 2007.
- [13] V. Podar and E. Cheng, "Tamper Detection in RFID Tags using Fragile Watermarking" International Conference Industrial Technology, Mumbai, pp. 2846-2852, 2006.
- [14] M. Q. Fan and H. X. Wang, "Tamper Discrimination in RFID Tags using Chaotic Fragile Watermark", IEEE Conference on Network Security, Wireless Communication and Trusted Computing, Wuhan, Hubei, pp. 147-150, 2009.
- [15] F. Hartung and M. Kutter, "Multimedia Watermarking Techniques", Proceedings of the IEEE, Vol. 87, No. 7, pp. 1079-1107, 1999.
- [16] A. A.-A. Gutub, F. Al-Haidari, K. M. Al-Kahsah and J. Hamodi, "e-Text Watermarking Utilizing 'Kashida' Extensions in Arabic Language Electronic Writing", Journal of Emerging Technologies in Web Intellegence, Vol. 2, No. 1, pp. 48-55, 2010.

جدول ۳. جدول علائم و اختصارات.

| | | | |
|------|-----------------------------|------|---------------------|
| + | نشان دهنده جمع نظیر به نظیر | SN | شماره سریال |
| | عملگر الحاق رشته بیتی | step | تابع پله |
| >> | شیفت چرخشی | v | عملگر فصل (OR) |
| << | بزرگتر یا کوچکتر | W | وزن نرون‌ها |
| EM | مدیریت EPC | ⊕ | XOR |
| K(x) | کلید | X | مکان تصادفی |
| M | رشته بیتی | x | بیت ورودی شبکه عصبی |
| mod | باقی مانده تقسیم | σ | ورودی تابع فعال‌ساز |
| OC | دسته برچسب | τ | خروجی هر نرون |
| C(x) | خروجی شبکه عصبی اول | θ | تابع ویژه آموزش |

بالا نویس حروف

| | |
|-----|-----------------------------|
| + | وزن بروز رسانی شده نرون |
| a,b | نماد دو نرون متصل به یکدیگر |

زیر نویس حروف

| | |
|---|------------------------|
| i | بیانگر شماره نرون |
| j | بیانگر شماره لایه نرون |

